
Explosionen

Physik fern des Gleichgewichts

Benjamin Blaß

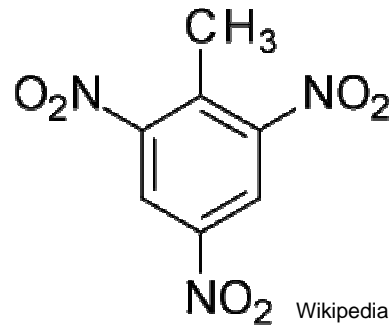
01.06.2011

Überblick

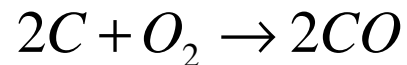
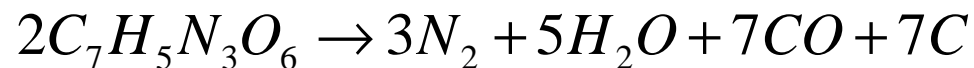
- Sprengstoffe
- Mathematische Formulierung
- Numerische Methoden I - Gitterbasierte Verfahren
- Ablauf einer Explosion
- Untersuchung der Mischungsschicht
 - Hydrodynamische Instabilitäten
 - Nachverbrennung
 - Zeitliche Entwicklung der Mischungsschicht
 - Durchgang der sekundären Schockwelle
- Numerische Methoden II - Gitterlose Verfahren

Sprengstoffe

- Trinitrotoluol (TNT)
- nach IUPAC 2-Methyl-1,3,5-trinitrobenzol
- Summenformel $C_7H_5N_3O_6$
- Strukturformel



- thermobarer Sprengstoff (negative Sauerstoffbilanz)



Mathematische Formulierung

Navier-Stokes-Gleichung ^[2]

$$\frac{\partial}{\partial t} \begin{bmatrix} \rho \\ \rho u_i \\ \rho E \\ \rho Y_k \end{bmatrix} + \frac{\partial}{\partial x_j} \begin{bmatrix} \rho u_j \\ \rho u_i u_j + p \delta_{ij} - \tau_{ij} \\ (\rho E + p) u_j - u_i \tau_{ji} + q_j \\ \rho Y_k (u_j + V_{j,k}) \end{bmatrix} = \begin{bmatrix} 0 \\ 0 \\ 0 \\ \dot{\omega}_k \end{bmatrix} - \frac{\eta}{x_j} \begin{bmatrix} \rho u_j \\ \rho u_j u_j \\ (\rho E + p) u_j \\ \rho Y_k u_j \end{bmatrix} \quad \eta = \begin{cases} 0 & , \text{ kartesich} \\ 1 & , \text{ zylindrisch} \\ 2 & , \text{ sphärisch} \end{cases}$$

ρ Dichte

u_i i -te Komponente der Geschwindigkeit

p Druck

$\tau_{ij} = \mu \left(\frac{\partial u_i}{\partial x_j} + \frac{\partial u_j}{\partial x_i} \right)$ Spannungstensor

μ Viskosität der Gasphase

$E = e + \frac{1}{2} u_i u_i$ spezifische Gesamtenergie

e innere Energie

$\dot{\omega}_k$ Erzeugungsrate der k -ten Spezies

$q_j = -\kappa \left(\frac{\partial T}{\partial x_j} \right) + \rho \sum_{k=1}^{N_s} h_k Y_k V_{j,k}$ j -te Komponente des Wärmeflusses

κ thermische Leitfähigkeit

T Temperatur

N_s Anzahl der chemischen Spezies

h_k spezifische Enthalpie der k -ten Spezies

Y_k Massenanteil der k -ten Spezies

$V_{j,k} = -\frac{D_k}{Y_k} \left(\frac{\partial Y_k}{\partial x_j} \right)$ j -te Komponente der Diffusionsgeschwindigkeit für die k -te Spezies

D_k Diffusionskoeffizient der k -ten Spezies

Mathematische Formulierung

Zustandsgleichungen

■ Explosionsprodukte

Jones-Wilkins-Lee-Gleichung

$$p(\rho, e) = A \left[1 - \frac{\omega \rho}{R_1 \rho_0} \right] \exp\left(-\frac{R_1 \rho_0}{\rho}\right) + B \left[1 - \frac{\omega \rho}{R_2 \rho_0} \right] \exp\left(-\frac{R_2 \rho_0}{\rho}\right) + \omega \rho (e - e_0)$$

$A, B, R_1, R_2, \rho_0, \omega$ Konstanten e_0 Referenzwert für innere Energie

■ Umgebungsluft

Van-der-Waals-Gleichung

$$\left(p + a \frac{n^2}{V^2} \right) (V - nb) = nRT$$

a, b Konstanten n Molzahl V Gasvolumen

Numerische Methoden I

Gitterbasierte Verfahren

Klassische, gitterbasierte Methoden

- Euler-Formulierung
 - ➔ Bewegung des Fluids in einzelnen, unbewegten Punkten betrachtet
 - z. B. Finite-Differenzen-Methoden (FDM)
 - Schwierigkeiten bei der Erfassung freier Oberflächen oder sich bewegender Grenzflächen
- Lagrange-Formulierung
 - ➔ Bewegung einzelner, bewegter Partikel im Fluidgebiet betrachtet
 - z. B. Finite-Elemente-Methoden (FEM)
 - Probleme mit großen Deformationen

Numerische Methoden I

Gitterbasierte Verfahren

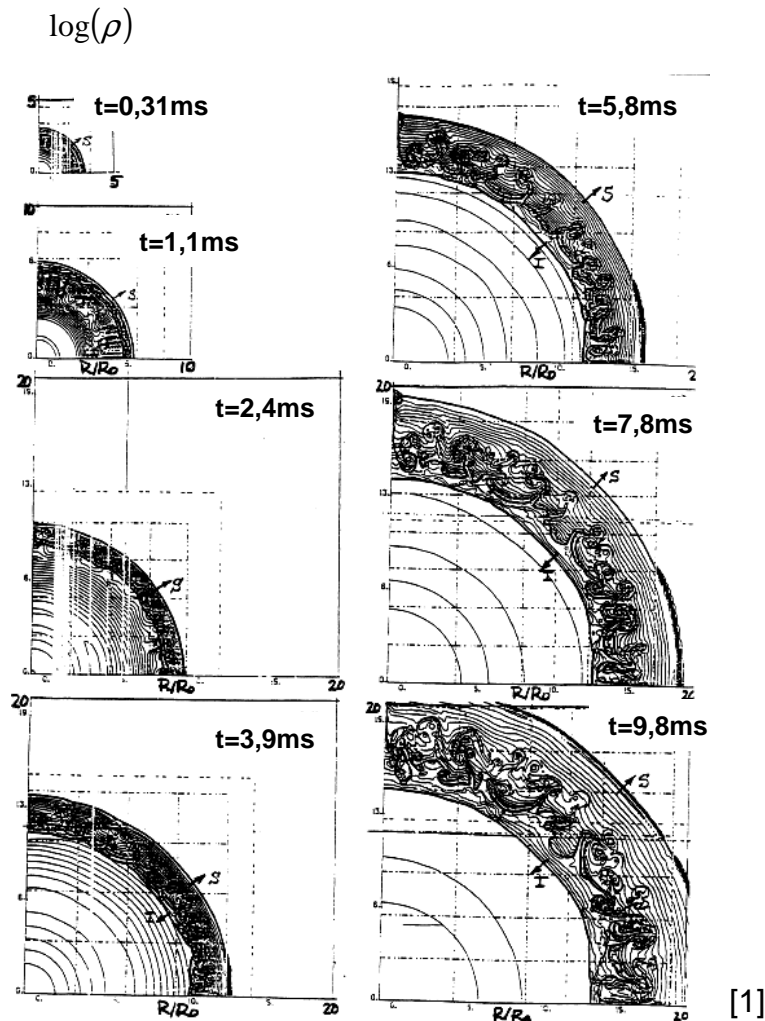
- Anwendung von **Hybridmethoden**, um sowohl Schockwellen als auch hydrodynamische Instabilitäten zu beschreiben
 - Fluss-Differenz-Splitting-Verfahren höherer Ordnung zur Beschreibung sich ausbreitender Schockwellen
 - splittet den Fluss in rechts- und linksgerichtete Fluktuationen des Mittelwertes benachbarter Gitterzellen auf
 - Mittelwertverfahren zur Beschreibung von Wirbeln und turbulenten Strukturen
 - Integration über einen Gitterzelle mit einem kleinen Zeitschritt, um Zeitentwicklung des Mittelwertes zu bestimmen

Numerische Methoden I

Gitterbasierte Verfahren

- Beschreibung chemischer Reaktionen: **Infinite Chemistry**
 - Annahme: chemische Reaktionen laufen instantan ab
 - Unterscheidung zwischen brennstoffreichen und brennstoffarmen Gitterzellen
 - in brennstoffreichen Zellen Konsum des gesamten Sauerstoffes
 - in brennstoffarmen Zellen Verbrennung des gesamten Brennstoffes
 - Bestimmung des verbleibenden Brennstoffes bzw. Sauerstoffes in einer Gitterzelle aus stöchiometrischen Überlegungen
 - „mischungsgesteuerte Verbrennung“

Ablauf einer Explosion



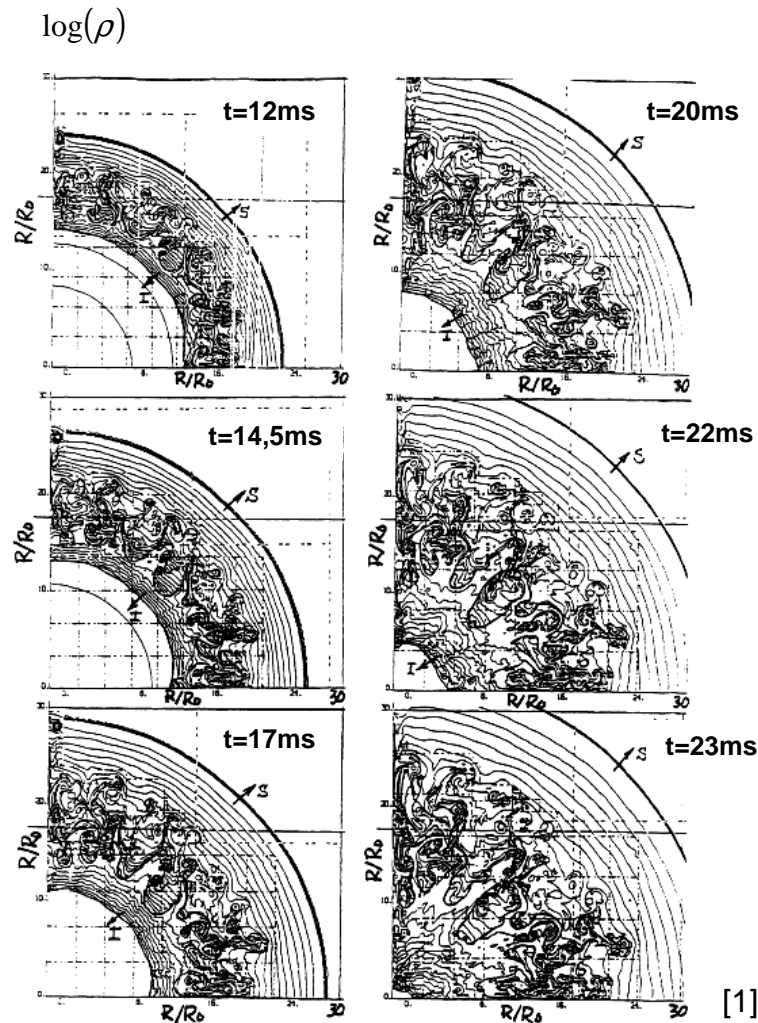
(i) Expansionsphase

- Explosionsprodukte dehnen sich schnell aus ($\approx 9 \text{ km/s}$)
- Ausbildung nach außen laufender Schockwelle S und nach innen gerichteter Verdünnungswelle I, die mit Schockwelle nach außen getragen wird
- Grenzfläche des Feuerballs zwischen Schockwelle und Verdünnungswelle

Ablauf einer Explosion

- Grenzfläche des Feuerballs erfährt stoßartige Beschleunigung durch die Detonationswelle und wird nach außen getragen
 - stoßartige Beschleunigung der Grenzfläche kann Entstehung von *Richtmyer-Meshkov-Instabilitäten* hervorrufen
- Feuerball wird während der Expansion durch komprimierte Umgebungsluft abgebremst
 - konstante Beschleunigung der Grenzfläche führt zur Ausbildung von *Rayleigh-Taylor-Instabilitäten*
- Instabilitäten rufen Scherflüsse hervor
 - Ausbildung von *Kelvin-Helmholtz-Instabilitäten*
- Dichtegradienten und Druckverhältnisse an Grenzfläche
 - Wirbelbildung durch *baroklinen Effekt*

Ablauf einer Explosion



(ii) Implosionsphase

- Verdünnungswelle überwindet Bewegung nach außen und beginnt, nach innen zu laufen
- Ausweitung der inneren Grenzfläche der Mischungsschicht in Richtung des Ursprunges
- Vergrößerung der Ausdehnung der Mischungsschicht

Ablauf einer Explosion

(iii) Phase der zweiten Schockwelle

- Verdünnungswelle wird am Ursprung reflektiert
 - ➔ läuft als sekundäre Schockwelle nach außen
 - ➔ erzeugt weitere Richtmyer-Meshkov-Instabilitäten
- Entstehung weiterer Schockwellen geringerer Stärke nach dem Muster der sekundären Schockwelle

(iv) Asymptotische Durchmischungsphase

- Ausdehnung der Mischungsschicht strebt langsam gegen einen asymptotischen Wert
- Explosionsgase und Umgebungsluft haben sich vermischt

Untersuchung der Mischungsschicht

Hydrodynamische Instabilitäten

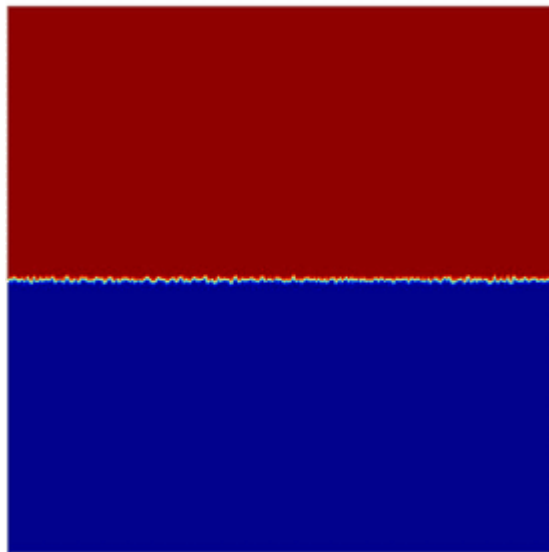
- hoher Dichtegradient an der Kontaktfläche zwischen Verbrennungsprodukten ($\rho \approx 2,5 \frac{\text{g}}{\text{cm}^3}$) und der durch Druckwelle komprimierten Luft ($\rho \approx 0,01 \frac{\text{g}}{\text{cm}^3}$)
- Kontaktfläche instabil gegenüber:
 - konstanter Beschleunigung
 - Rayleigh-Taylor-Instabilitäten
 - stoßartiger Beschleunigung
 - Richtmyer-Meshkov-Instabilitäten
 - barokliner Effekt (Nichtparallelität von Isothermen und Isobaren)
 - Wirbelbildung

Untersuchung der Mischungsschicht

Hydrodynamische Instabilitäten

Rayleigh-Taylor-Instabilitäten

- entstehen durch die Dichtegradienten an der Grenzfläche zwischen den Explosionsprodukten und der Umgebungsluft



http://fluid.stanford.edu/~fringer/movies/shear_convect/shear.html



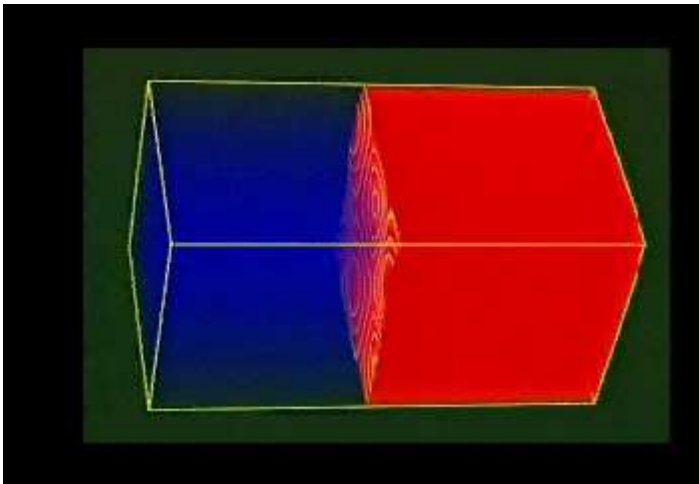
<https://computation.llnl.gov/casc/asciturb/simulations.shtml>

Untersuchung der Mischungsschicht

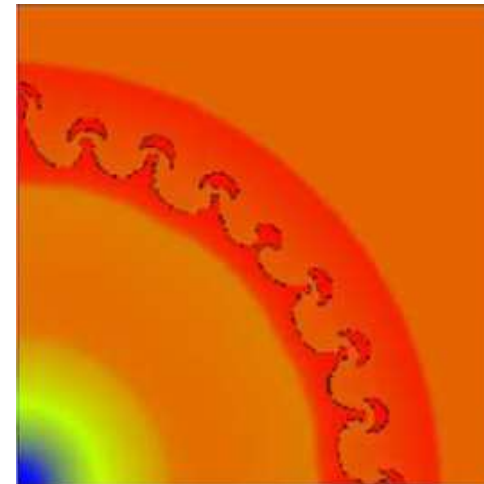
Hydrodynamische Instabilitäten

Richtmyer-Meshkov-Instabilitäten

- entstehen bei Durchgang der Schockwellen durch die Grenzfläche zwischen Verbrennungsgasen und komprimierter Luft



<https://computation.llnl.gov/casc/asciturb/simulations.shtml>



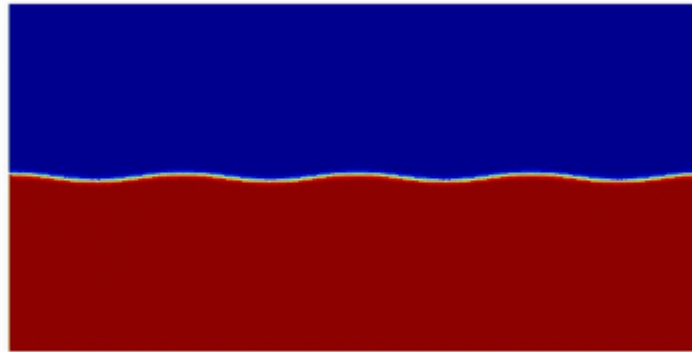
Spherical Richtmyer-Meshkov instability for axisymmetric flow
S. Dutta, J. Glimma, J. W. Grove, D. H. Sharp, Y. Zhang

Untersuchung der Mischungsschicht

Hydrodynamische Instabilitäten

Kelvin-Helmholtz-Instabilitäten

- Anwachsen kleiner Störungen in der Scherschicht zweier Fluide mit unterschiedlicher Strömungsgeschwindigkeit



http://fluid.stanford.edu/~fringer/movies/shear_convect/shear.html

Untersuchung der Mischungsschicht

Hydrodynamische Instabilitäten

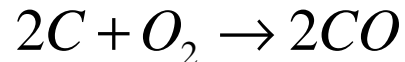
- Wachstumsrate der hydrodynamischen Instabilitäten entscheidend für den Durchmischungsprozess von Explosionsprodukten und Umgebungsluft
- Wachstum ausgehend von:
 - Rauigkeiten auf der Oberfläche der Sprengladung
 - molekularer Ebene
- in beiden Fällen Anwachsen der Instabilitäten auf makroskopische Größenordnung
- Ausbildung einer turbulenten Durchmischungsschicht
 - ➔ Durchmischung von Explosionsprodukten und Umgebungsluft
 - ➔ Nachverbrennung

Untersuchung der Mischungsschicht

Nachverbrennung

- Mischung von Verbrennungsprodukten und Umgebungsluft an der Grenzfläche führt zu Verbrennung noch unverbrannter Anteile des Sprengstoffes bzw. weiterer Oxidation
- tritt auf für Sprengstoffe mit stark negativer Sauerstoffbilanz (thermobare Sprengstoffe)

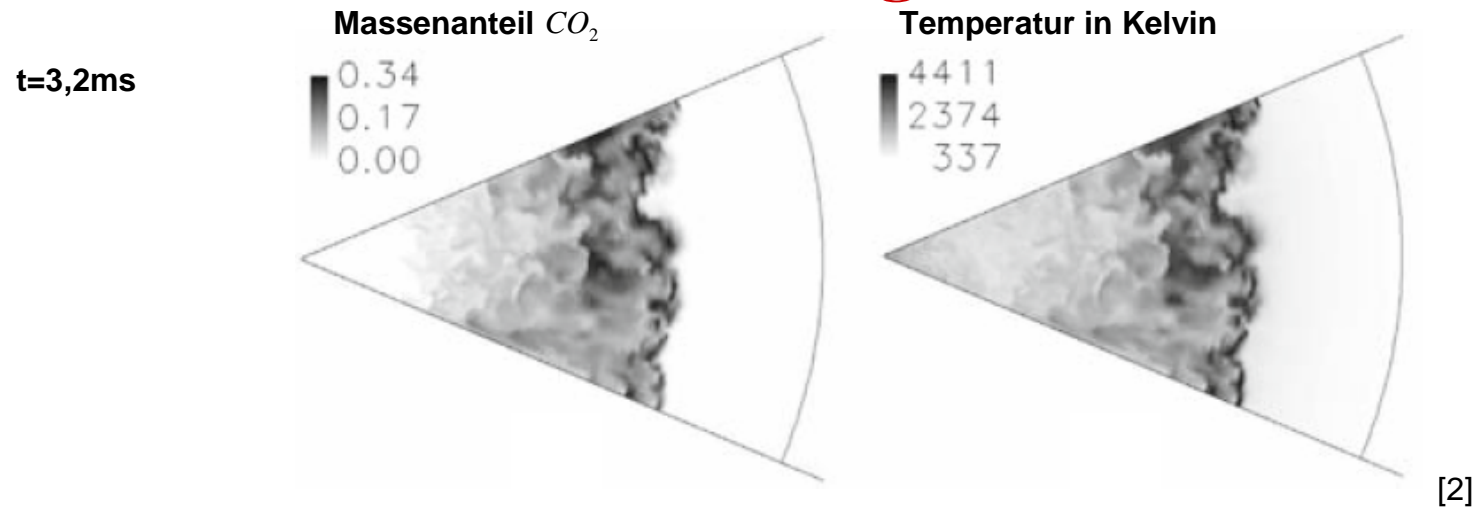
z. B.: TNT



- kann erheblichen Anteil an der Schockwelle einer Explosion haben (bis zu 50%)

Untersuchung der Mischungsschicht

Nachverbrennung

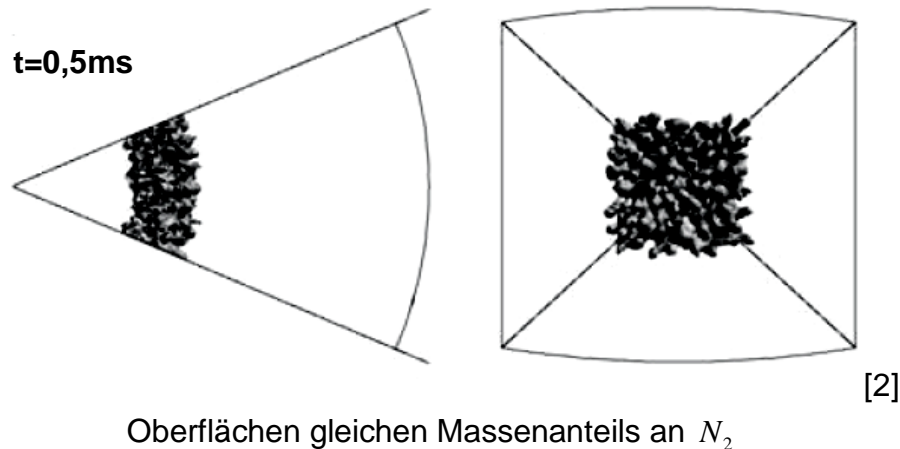


- Konzentration von CO_2 sowie Temperatur an der äußeren Grenzfläche der Mischungsschicht am größten
- CO_2 wirkt als Sperrschicht zwischen C und CO in den Explosionsprodukten und O_2 in der Umgebungsluft
 - ➔ Notwendigkeit turbulenter Durchmischung für Nachverbrennung

Untersuchung der Mischungsschicht

Zeitliche Entwicklung

Phase der ersten Druckwelle

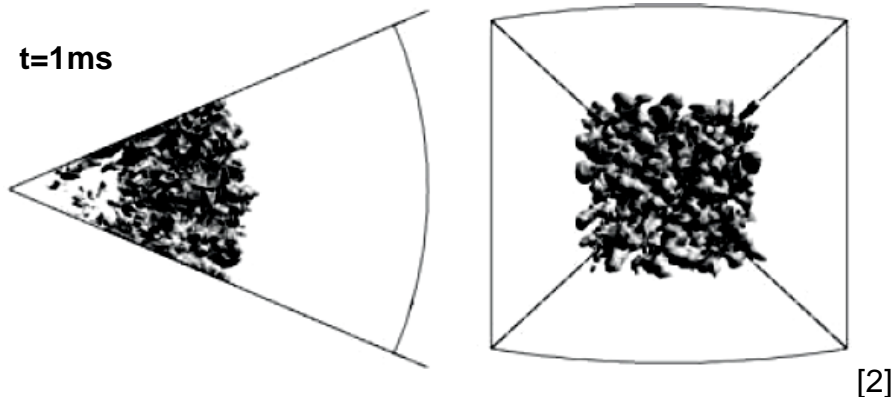


- Entstehung der Mischungsschicht an der Grenzfläche der Detonationsprodukte und der verdichteten Luft
- zeitliches Wachstum der Störungen unter Beibehaltung ihrer initialen Form
- Wirbelbildung führt zu Einströmen von Luft in die Mischungsschicht
 - ➔ radiales Wachstum
 - ➔ Nachverbrennung

Untersuchung der Mischungsschicht

Zeitliche Entwicklung

Implosionsphase



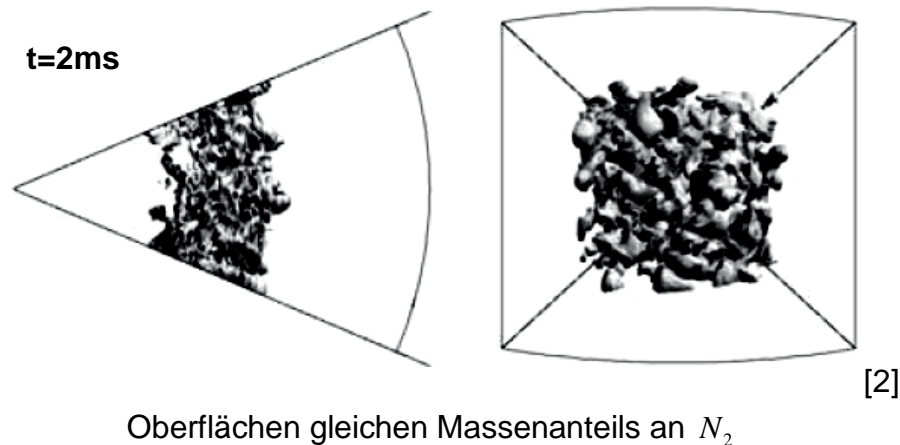
Oberflächen gleichen Massenanteils an N_2

- sekundäre Schockwelle implodiert nach innen
 - innere Grenzfläche der Mischungsschicht bewegt sich mit nach innen laufender Verdünnungswelle nach innen
 - Ausdehnung der Mischungsschicht

Untersuchung der Mischungsschicht

Zeitliche Entwicklung

Phase der zweiten Schockwelle



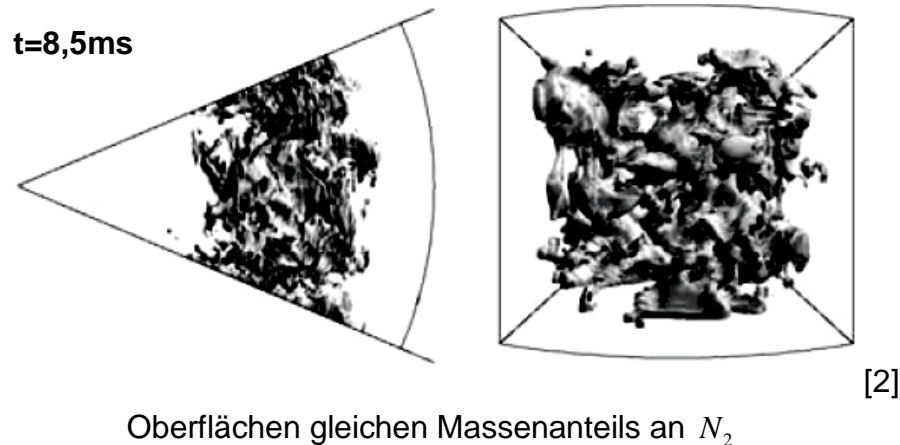
- sekundäre Schockwelle durchläuft die Mischungsschicht
 - Entstehung weiterer Richtmyer-Meshkov-Instabilitäten
 - Verstärkung der Wirbelbildung durch baroklinen Effekt
 - Wechselwirkung zwischen benachbarten Strukturen
 - weitere Durchmischung von Explosionsgasen und Luft

Untersuchung der Mischungsschicht

Zeitliche Entwicklung

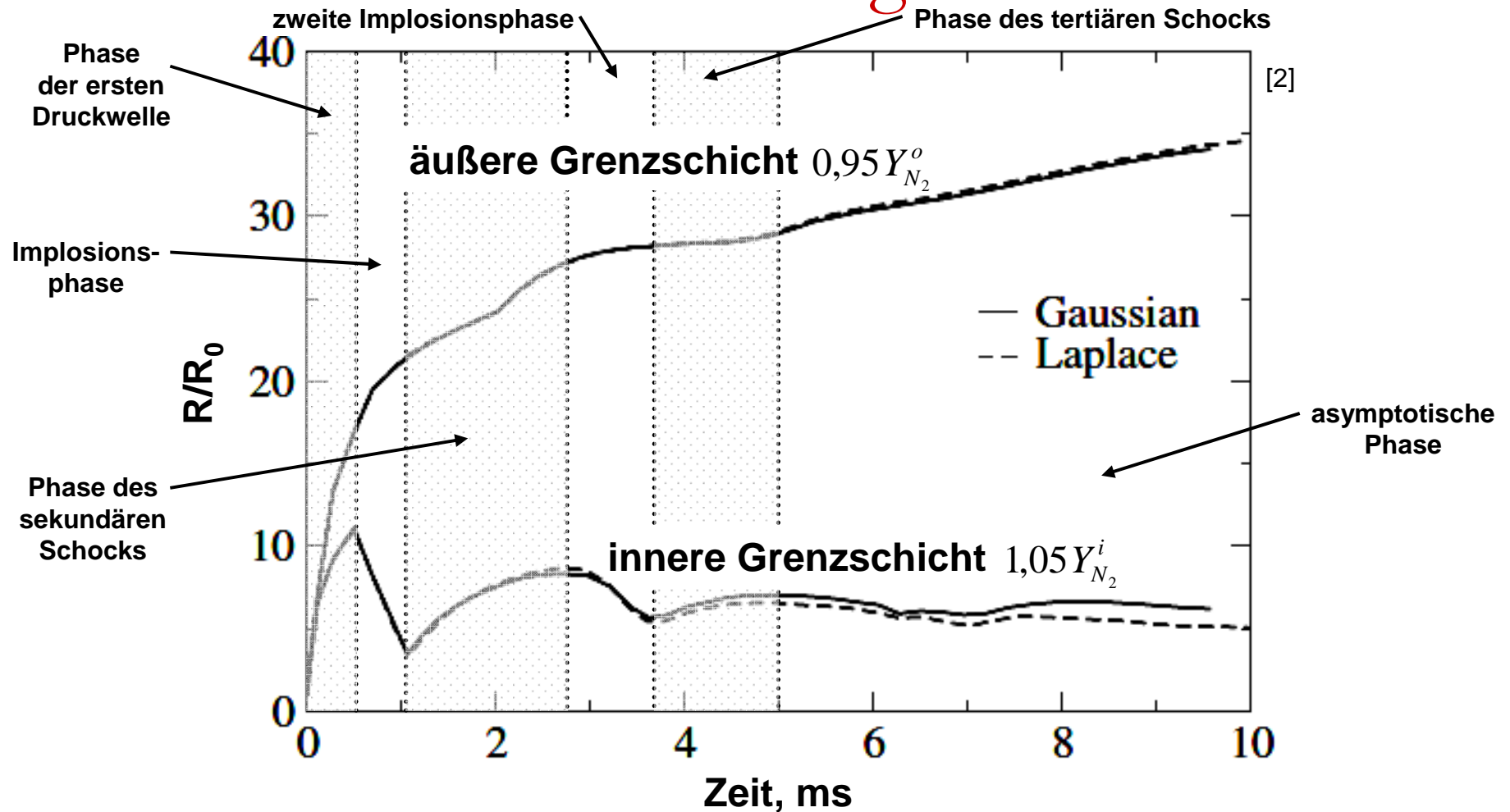
Asymptotische Phase

- benachbarte Strukturen beginnen, sich miteinander zu vermischen
- verzerrteres Erscheinungsbild der Mischungsschicht
- Verlust der Information über die ursprüngliche Gestalt der Störungen



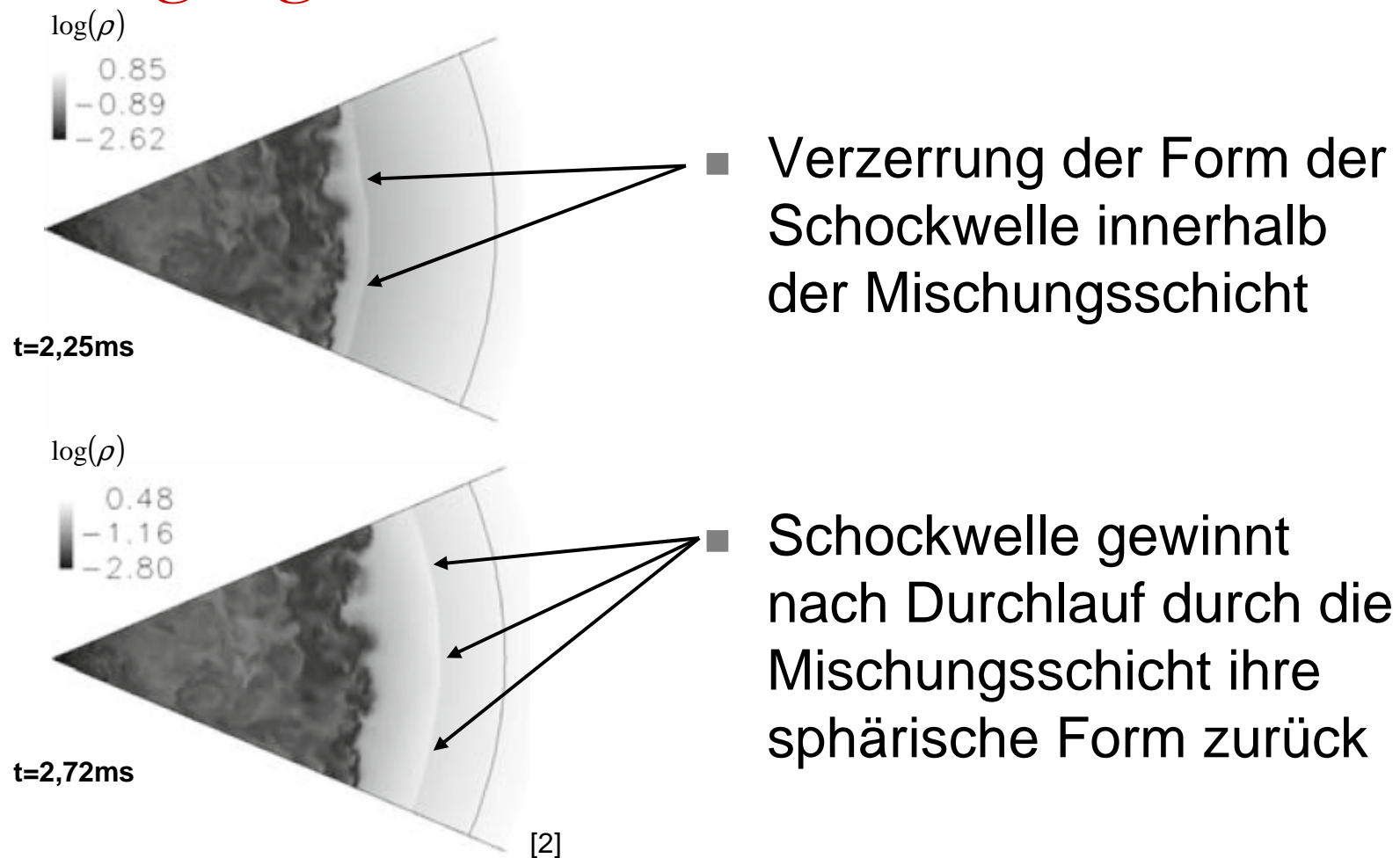
Untersuchung der Mischungsschicht

Zeitliche Entwicklung



Untersuchung der Mischungsschicht

Durchgang der sekundären Schockwelle



Untersuchung der Mischungsschicht

Durchgang der sekundären Schockwelle

- sekundäre Schockwelle erzeugt beim Eintritt in die Mischungsschicht Richtmyer-Meshkov-Instabilitäten
 - Erzeugung von Wirbelstrukturen durch baroklinen Effekt
 - Wirbelstrukturen rufen räumlich variierende Grade von Nachverbrennung hervor
 - räumlich variierende Schallgeschwindigkeit innerhalb der Mischungszone
 - räumlich unterschiedliche Laufgeschwindigkeit der sekundären Schockwelle innerhalb der Mischungszone
 - Verzerrung der Form der Schockwelle
- außerhalb der Mischungszone keine Wirbelstrukturen
 - Schockwelle gewinnt ihre sphärische Form zurück

Numerische Methoden II

Gitterlose Verfahren

Methode der verschmierten Teilchen ^[3]

(Smoothed Particle Method, SPM)

- gitterloses Verfahren in Lagrange-Formulierung
- Darstellung des Fluids durch Teilchen, die Fluidgrößen wie Masse, Geschwindigkeits- und Ortsvektor tragen
- vereint Vorteile von Teilchenmethoden mit denen gitterloser Verfahren und Verfahren in Lagrange-Formulierung
- gut geeignet zur Behandlung
 - großer Deformationen
 - großer Inhomogenitäten
 - sich bewegender Grenzflächen

Numerische Methoden II

Gitterlose Verfahren

- **zentrale Aussage:**

Der Wert einer Funktion f an einem Ort oder für eines der Teilchen sowie ihr Gradient können als Summationsinterpolierende über die benachbarten Teilchen unter Nutzung einer **Verschmierungs-Kernel-Funktion** W ausgedrückt werden mit der Verschmierungslänge h .

$$\langle f_i \rangle = \sum_{j=1}^N \left(\frac{m_j}{\rho_j} \right) f_j W_{ij} \quad W_{ij} = W(\vec{x}_i - \vec{x}_j, h) = W(|\vec{x}_i - \vec{x}_j|, h)$$

$$\langle \nabla f_i \rangle = \sum_{j=1}^N \left(\frac{m_j}{\rho_j} \right) f_j \nabla_i W_{ij} \quad \nabla_i W_{ij} = \frac{\vec{x}_i - \vec{x}_j}{r_{ij}} \frac{\partial W_{ij}}{\partial r_{ij}} = \frac{\vec{x}_{ij}}{r_{ij}} \frac{\partial W_{ij}}{\partial r_{ij}}$$

Numerische Methoden II

Gitterlose Verfahren

- Anforderungen an die Kernel-Funktion

- Normierungsbedingung

$$\int d\vec{x} W(\vec{x} - \vec{x}', h) = 1$$

- Delta-Funktions-Bedingung

$$\lim_{h \rightarrow 0} W(\vec{x} - \vec{x}', h) = \delta(\vec{x} - \vec{x}') \text{ für } h \rightarrow 0$$

- Kompaktheitsbedingung

$$W(\vec{x} - \vec{x}', h) = 0 \text{ für } |\vec{x} - \vec{x}'| > \lambda h, \lambda \text{ Konstante}$$

- mögliche Kernel-Funktion: kubische Spline-Funktion (3d)

$$W(S, h) = \frac{3}{2} \pi h^3 \begin{cases} \frac{2}{3} - S^2 + \frac{1}{2} S^3 & 0 \leq S < 1 \\ \frac{1}{6} (2 - S)^3 & 1 \leq S < 2 \\ 0 & S \geq 2 \end{cases} \text{ mit } S = \frac{|\vec{x} - \vec{x}'|}{h}, \lambda = 2$$

Numerische Methoden II

Gitterlose Verfahren

- Einführung einer **künstlichen Viskosität**, um das numerische Modell zu stabilisieren, Eindringen der Teilchen ineinander zu verhindern und Schockwellen zu erfassen
- standardmäßig verwandte künstliche Viskosität:

$$\Pi_{ij} = \begin{cases} \frac{-\alpha \bar{c}_{ij} \mu_{ij} + \beta \mu_{ij}^2}{\bar{\rho}_{ij}} & \vec{v}_{ij} \cdot \vec{x}_{ij} < 0 \\ 0 & \vec{v}_{ij} \cdot \vec{x}_{ij} \geq 0 \end{cases}$$

$$\mu_{ij} = \frac{h_{ij} \vec{v}_{ij} \cdot \vec{x}_{ij}}{|\vec{r}_{ij}|^2 + \eta^2}, \quad \bar{c}_{ij} = \frac{1}{2}(c_i + c_j), \quad \bar{\rho}_{ij} = \frac{1}{2}(\rho_i + \rho_j)$$

$$\vec{v}_{ij} = \vec{v}_i - \vec{v}_j, \quad h_{ij} = \frac{1}{2}(h_i + h_j)$$

α, β, η Konstanten

\vec{v} Geschwindigkeitsvektor

c Schallgeschwindigkeit

Numerische Methoden II

Gitterlose Verfahren

- Bewegungsgleichungen

$$\begin{cases} \frac{d\rho_i}{dt} = \sum_{j=1}^N m_j (\vec{v}_i - \vec{v}_j) \cdot \nabla_i W_{ij} \\ \frac{d\vec{v}_i}{dt} = - \sum_{j=1}^N m_j \left(\frac{p_i}{\rho_i^2} + \frac{p_j}{\rho_j^2} + \Pi_{ij} \right) \nabla_i W_{ij} \\ \frac{du_i}{dt} = \frac{1}{2} \sum_{j=1}^N m_j \left(\frac{p_i}{\rho_i^2} + \frac{p_j}{\rho_j^2} + \Pi_{ij} \right) (\vec{v}_i - \vec{v}_j) \cdot \nabla_i W_{ij} \\ \frac{d\vec{x}_i}{dt} = \vec{v}_i \end{cases}$$

- Lösung der Bewegungsgleichungen mit Standardverfahren wie Leapfrog-, Prediktor-Korrektor- oder Runge-Kutta-Verfahren

Numerische Methoden II

Gitterlose Verfahren

- Verschmierungslänge von großer Bedeutung:
 - zu kleine Verschmierungslänge λh bedingt zu wenige Teilchen in der Umgebung eines betrachteten Teilchens, die Kräfte auf dieses ausüben
 - Verlust an Genauigkeit
 - zu große Verschmierungslänge λh führt zu Auswaschen von Einzelheiten für ein Teilchen bzw. lokaler Eigenschaften
 - Verlust an Genauigkeit

Referenzen

- *Mixing in Explosions [1]*
A. L. Kuhl
Technical Meeting at the Russian Academy of Sciences 1993
<http://www.osti.gov/bridge/servlets/purl/10143162-YGJKPX/native/10143162.pdf>
- *Numerical study of blast characteristics from detonation of homogeneous explosives [2]*
K. Balakrishnan, F. Genin, D. V. Nance and S. Menon
Shock Waves (2010) 20 : 147-162
https://ccse.lbl.gov/people/kaushik/papers/Balakrishnan_SW_2010.pdf
- *Computer simulation of high explosive explosion using smoothed particle hydrodynamics methodology*
M. B. Liu, G. R. Liu, Z. Zong and K. Y. Lam
Computer & Fluids 32 (2003) 305-322
<http://www.sciencedirect.com/science/article/pii/S0045793001001050>

Vielen Dank für Ihre
Aufmerksamkeit!
